PROSPETTO OVEST

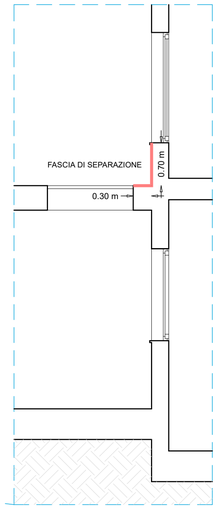

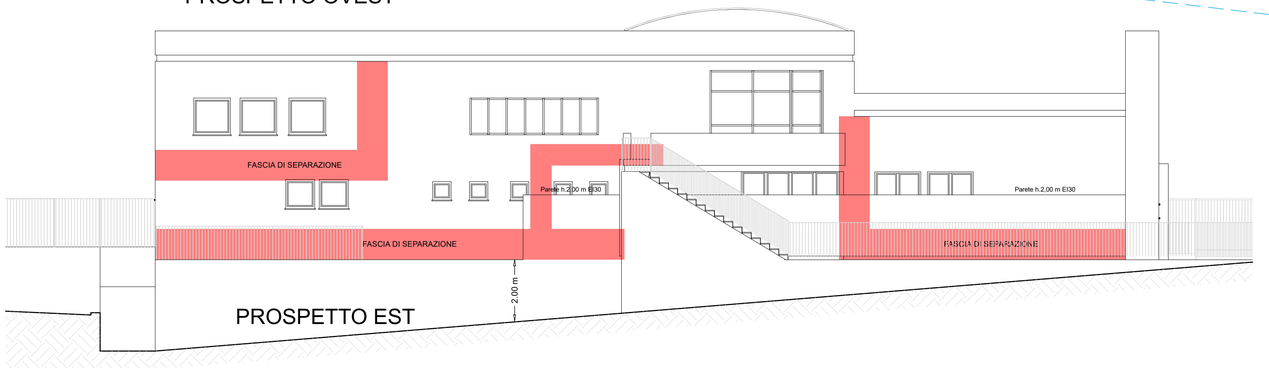

PROSPETTO EST

FOTO AEREA

ATTIVITA' OGGETTO DELLA PRESENTE ISTANZA

LEGENDA ANTINCENDIO			
	Estintore a polvere		Pulsante allarme manuale
	Estintore polvere carrellato		Pulsante sgancio corrente
	Estintore a CO2	Q.E	Quadro elettrico
	Estintore idrico		Rivelatore di fumo
	Estintore a schiuma		Rivelatore di calore
	Naspo UNI 25		Rivelatore di gas
	Idrante a muro UNI 45		Rilevatore ottico antincendio
	Colonna idrante UNI 45		Allarme antincendio
	Colonna idrante UNI 70	LUX	Illuminazione d'emergenza
	Idrante sottosuolo UNI 45		U.S. verso il basso
	Idrante sottosuolo UNI 70		U.S. verso orizzontale
	Attacco Motopompa		U.S. verso l'alto
	Impianto sprinkler	EI 120	Porta tagliafuoco
	Percorso gas metano a vista	E 120-Sa	Porta tagliafuoco a tenuta fumi freddi
	Percorso gas metano interrato		Strutture R/REI/EI 30
	Valvola d'intercet. manuale		Strutture R/REI/EI 60
	Valvola d'intercet. automatica		Strutture R/REI/EI 90
	Valvola a strappo		Strutture R/REI/EI 120
	Aerotermo		Strutture R/REI/EI 180

PROGETTO VALIDO AI SOLI FINI ANTINCENDIO

percorso esterno — DETERMINAZIONE ANALITICA DELLA DISTANZA DI SEPARAZIONE (art. 5.3.11.3)

PIASTRA RADIANTE

B	9.00 m		Larghezza i-esima piastra radiante
H	9.00 m		Altezza i-esima piastra radiante
$S_{rad,i}$	1.800 mq		Sup. complessiva elementi radianti della i-esima piastra radiante
$S_{pr,i}$	2.08 mq		Sup. complessiva della i-esima piastra radiante
μ_i	0.8636	86.36 %	Percentuale di foratura

DISTANZA TRA PIASTRA E BERSAGLIO

d	9.50 m		Distanza tra l'i-esima piastra radiante ed il bersaglio
q_f	0.0000 MJ/m²		Carico d'incendio specifico del compartimento
E_f	0 kW/m²		Potenza termica radiante dovuta all'incendio convenzionale
E_{soglia}	2.5 kW/m²		Soglia di irraggiamento dell'incendio sul bersaglio
d_f	0.633333 m		Spessore della fiamma, pari a 2/3 dell'altezza da cui esce la fiamma
d_f	0.273041		Emissività della fiamma
k	0.271429		Parametro K dal fattore di vista
F_{i-f}	0.0441429		Parametro F dal fattore di vista
F_{i-f}	0.0441429		Fattore di vista
$F_{i-f} \times E_f \times d_f$	0.537296	< 2.5	**VERIFICATA** Energia da irraggiamento sul bersaglio alla distanza d

percorso esterno — DETERMINAZIONE ANALITICA DELLA DISTANZA DI SEPARAZIONE (art. 5.3.11.3)

PIASTRA RADIANTE

B	9.00 m		Larghezza i-esima piastra radiante
H	9.00 m		Altezza i-esima piastra radiante
$S_{rad,i}$	5 mq		Sup. complessiva elementi radianti della i-esima piastra radiante
$S_{pr,i}$	13.505 mq		Sup. complessiva della i-esima piastra radiante
μ_i	0.5758	57.58 %	Percentuale di foratura

DISTANZA TRA PIASTRA E BERSAGLIO

d	9.50 m		Distanza tra l'i-esima piastra radiante ed il bersaglio
q_f	0.0000 MJ/m²		Carico d'incendio specifico del compartimento
E_f	0 kW/m²		Potenza termica radiante dovuta all'incendio convenzionale
E_{soglia}	2.5 kW/m²		Soglia di irraggiamento dell'incendio sul bersaglio
d_f	1 m		Spessore della fiamma, pari a 2/3 dell'altezza da cui esce la fiamma
d_f	0.259282		Emissività della fiamma
k	0.27929		Parametro K dal fattore di vista
F_{i-f}	0.0929		Parametro F dal fattore di vista
F_{i-f}	0.1350505		Fattore di vista
$F_{i-f} \times E_f \times d_f$	2.186096	< 2.5	**VERIFICATA** Energia da irraggiamento sul bersaglio alla distanza d

percorso esterno — DETERMINAZIONE ANALITICA DELLA DISTANZA DI SEPARAZIONE (art. 5.3.11.3)

PIASTRA RADIANTE

B	9.00 m		Larghezza i-esima piastra radiante
H	9.00 m		Altezza i-esima piastra radiante
$S_{rad,i}$	3.8 mq		Sup. complessiva elementi radianti della i-esima piastra radiante
$S_{pr,i}$	4.83 mq		Sup. complessiva della i-esima piastra radiante
μ_i	0.7933	79.33 %	Percentuale di foratura

DISTANZA TRA PIASTRA E BERSAGLIO

d	9.50 m		Distanza tra l'i-esima piastra radiante ed il bersaglio
q_f	0.0000 MJ/m²		Carico d'incendio specifico del compartimento
E_f	0 kW/m²		Potenza termica radiante dovuta all'incendio convenzionale
E_{soglia}	2.5 kW/m²		Soglia di irraggiamento dell'incendio sul bersaglio
d_f	1 m		Spessore della fiamma, pari a 2/3 dell'altezza da cui esce la fiamma
d_f	0.259282		Emissività della fiamma
k	0.363857		Parametro K dal fattore di vista
k	0.214286		Parametro F dal fattore di vista
F_{i-f}	0.0844408		Fattore di vista
$F_{i-f} \times E_f \times d_f$	1.643413	< 2.5	**VERIFICATA** Energia da irraggiamento sul bersaglio alla distanza d

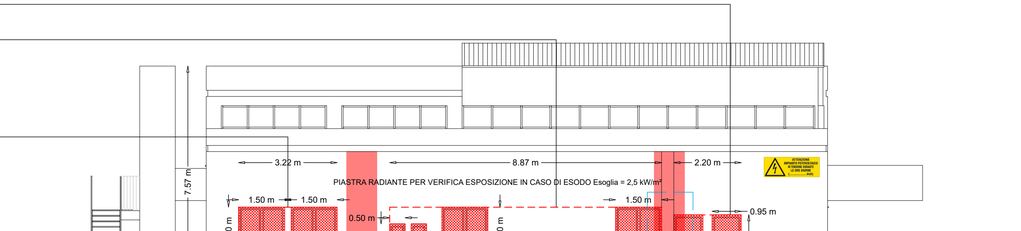

PROSPETTO NORD

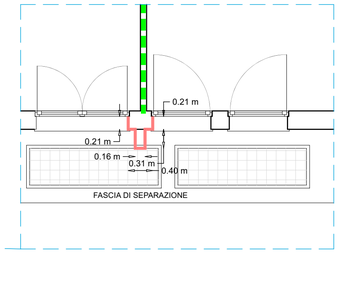

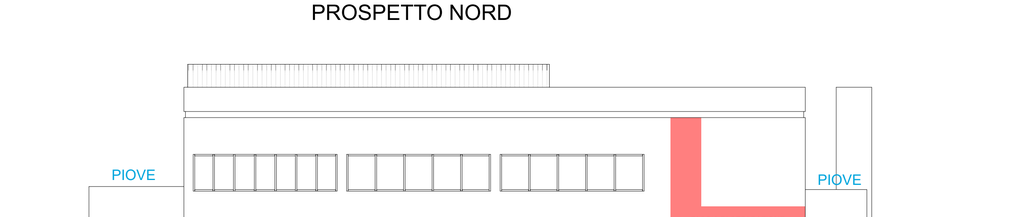

PROSPETTO SUD

CPI S.R.L. PREVENZIONE INCENDI

ING. CEREDA 338.6219086
ING. FLINCIERI 328.7570545
ING. PARMA 392.3327876
P.IVA 13811410961
MATRICOLA INARCASSA SI020927
SEDE LEGALE: VIALE L. RONCHI, 15 VIMERCATE (MB)
SEDE OPERATIVA: CASCINA CASSINETTA, 3 USMATE VELATE (MB)
INFO@CPISRL.IT
AMMINISTRAZIONE@PEC.CPISRL.IT
WWW.CPISRL.IT

AIAS CITTÀ DI MONZA

COMMITTENTE:

AIAS Città di Monza ETS
via Lissoni, 14 Monza (MB)

PROGETTO:

Progetto di conformità antincendio
attività sita in via Lissoni, 14
a Monza (MB)

OGGETTO:

VARIANTE FASCICOLO 65021
Prospetti

N° DOCUMENTO:	FASE:
03	VVF
DATA: 18/02/2026	SCALA: 1:100
COMMESSA: 12/2025	FILE: PROGETTO VVF

Rev.	Data	Descrizione	Diseg.	Contr.	Appr.
0	16/02/2026	PRIMA EMISSIONE			R.P.
1					
2					
3					
4					
5					

TIMBRO E FIRMA CLIENTE

Livio Valvano
23.03.2026
14:17:44
GMT+01:00

TIMBRO E FIRMA

A TERMINE DI LEGGE CI RISERVIAMO LA PROPRIETA' DI QUESTO DISEGNO CON DIVIETO DI RIPRODURLO O DI RENDERLO COMUNQUE NOTO A TERZI SENZA NOSTRA AUTORIZZAZIONE SCRITTA